

数值分析第四次上机作业

宋歌 2015080086 数 52

11/30/2018

设 $f(x) = \frac{1}{1+25x^2}, x \in [-1, 1]$, 取 $x_j = -1 + \frac{2j}{n}, j = 0, 1, \dots, n$. 取适当的 $n = 10, 20, \dots$, 试求出 n 次 Lagrange 插值多项式 $L_n(x)$ 、分段线性插值函数 $I_1^h(x)$ 和三次样条插值函数 $S_3^h(x)$ (采用自然边界), 画出他们的图像, 并对结果进行比较说明。

1 实验原理

1.1 Lagrange 插值

希望插值函数 $p_n(x) = \sum_{k=0}^n y_k l_k(x)$ 满足 $y_k = f(x_k)$, $l_k(x)$ 为线性无关的 n 次多项式且满足 $l_k(x_m) = \delta_{km}$, 故取

$$l_k(x) = \prod_{i=0, i \neq k}^n \frac{x - x_i}{x_k - x_i}, k = 0, 1, \dots, n$$

可以证明, 若被插值函数 $f(x)$ 的任意阶导数在区间 $[a, b]$ 上都有界, 那么插值多项式 $L_n(f)$ 随着 $n \rightarrow \infty$ 会在无穷范数意义下收敛到 $f(x)$.

1.2 分段线性插值

把区间分为 n 小段 $a = x_0 < x_1 < \dots < x_n = b$, 记 $h_k = x_k - x_{k-1}, h = \max_{1 \leq k \leq n} h_k$. 我们希望找到一个函数 $I_h(x)$ 满足以下三个条件:

- $I_h(x) \in C(a, b)$;
- $I_h(x_j) = f(x_j), j = 0, 1, \dots, n$;
- $I_h|_{[x_k, x_{k+1}]} = f(x_k) \frac{x - x_{k+1}}{x_k - x_{k+1}} + f(x_{k+1}) \frac{x - x_k}{x_{k+1} - x_k}$

故可以令 $I_h(x) = \sum_{j=0}^n f(x_j) \phi_j(x)$, 其中

$$\phi_0(x) = \begin{cases} 0, & x_1 \leq x; \\ \frac{x - x_1}{x_0 - x_1}, & x_0 \leq x \leq x_1; \end{cases} \quad \phi_n(x) = \begin{cases} 0, & x \leq x_{n-1}; \\ \frac{x - x_{n-1}}{x_n - x_{n-1}}, & x_{n-1} \leq x \leq x_n; \end{cases}$$
$$\phi_j(x) = \begin{cases} 0, & x \leq x_{j-1} \text{ 或 } x \geq x_{j+1}; \\ \frac{x - x_{j-1}}{x_j - x_{j-1}}, & x_{j-1} \leq x \leq x_j; \\ \frac{x - x_{j+1}}{x_j - x_{j+1}}, & x_j \leq x \leq x_{j+1}. \end{cases} \quad j = 1, 2, \dots, n-1$$

可以证明, 若 $f \in C[a, b]$, 那么当 $h \rightarrow 0$ 时, 分段线性插值函数 I_h 一致收敛到 f .

1.3 三次样条插值

我们希望找到一个函数 $S(x)$ 满足以下三个条件:

- $S(x) \in C^1[a, b]$;
- $S(x_j) = f(x_j), S'(x_j) = m_j = f'(x_j), j = 0, 1, \dots, n$;
- $S|_{[x_k, x_{k+1}]} = f(x_k)\alpha_k(x) + f(x_{k+1})\alpha_{k+1}(x) + m_k\beta_k(x) + m_{k+1}\beta_{k+1}(x)$ 为三次多项式

故可以令

$$\alpha_j(x) = \begin{cases} 0, & \text{otherwise;} \\ (1 + 2\frac{x-x_j}{x_{j-1}-x_j})(\frac{x-x_{j-1}}{x_j-x_{j-1}})^2, & x_{j-1} \leq x \leq x_j; \\ (1 + 2\frac{x-x_j}{x_{j+1}-x_j})(\frac{x-x_{j+1}}{x_j-x_{j+1}})^2, & x_j \leq x \leq x_{j+1}. \end{cases} \quad \beta_j(x) = \begin{cases} 0, & \text{otherwise;} \\ (x-x_j)(\frac{x-x_{j-1}}{x_j-x_{j-1}})^2, & x_{j-1} \leq x \leq x_j; \\ (x-x_j)(\frac{x-x_{j+1}}{x_j-x_{j+1}})^2, & x_j \leq x \leq x_{j+1}. \end{cases}$$

从而有三次样条插值函数 $S(x) = \sum_{j=0}^n [f(x_j)\alpha_j(x) + m_j\beta_j(x)]$. 利用二阶导连续条件 $S''(x_j^-) = S''(x_j^+)$ 得到 $\lambda_j m_{j-1} + 2m_j + \mu_j m_{j+1} = g_j, j = 1, \dots, n-1$. 其中 $\lambda_j = \frac{h_{j+1}}{h_j+h_{j+1}}, \mu_j = 1 - \lambda_j, g_j = 3\{\lambda_j f[x_{j-1}, x_j] + \mu_j f[x_j, x_{j+1}]\}$. 再加上边界条件 $S'(x_0) = m_0, S'(x_n) = m_n$, 我们解以下方程即可得到 m_j .

$$\begin{bmatrix} 2 & \mu_1 & & & \\ \lambda_2 & 2 & \mu_2 & & \\ & \ddots & \ddots & \ddots & \\ & & \ddots & \ddots & \mu_{n-2} \\ & & & \lambda_{n-1} & 2 \end{bmatrix} \begin{bmatrix} m_1 \\ m_2 \\ \vdots \\ m_{n-2} \\ m_{n-1} \end{bmatrix} = \begin{bmatrix} g_1 - \lambda_1 m_0 \\ g_2 \\ \vdots \\ g_{n-2} \\ g_{n-1} - \mu_{n-1} m_n \end{bmatrix}$$

设 $h_j = x_j - x_{j-1}, \bar{h} = \max_{1 \leq j \leq n} h_j, \underline{h} = \min_{1 \leq j \leq n} h_j$. 可以证明若在 $\bar{h} \rightarrow 0$ 时有 $\frac{\bar{h}}{\underline{h}} \leq C < +\infty$, 那么在 I 型边界下的三次样条 $S(x)$ 一致收敛到 $f(x)$.

2 实验设计

将插值点 $x_j = -1 + \frac{2j}{n}, j = 0, 1, \dots, n$ 存入向量 X , 对应的函数值 $f(x_j), j = 0, 1, \dots, n$ 存入向量 Y . 然后根据上述实验原理, 分别建立如下三个求 Lagrange 插值多项式、分段线性插值函数和三次样条插值函数的 MATLAB 函数。其中 $\text{Lagrange}(X, Y)$ 输出的是形式上的多项式, $\text{peiceLin}(X, Y, x)$ 和 $\text{spline3}(X, Y, m_1, m_n, x)$ 是以 x 为自变量的函数。

2.1 Lagrange 插值

如图 1, 可以在 MATLAB 中写出多项式 $l_k(x) = \prod_{i=0, i \neq k}^n \frac{x-x_i}{x_k-x_i}, k = 0, 1, \dots, n$, 从而得到插值多项式 $L_n(x) = \sum_{k=0}^n y_k l_k(x)$.

```

1  function [L] = Lagrange(X,Y)
2  n = length(X);
3  L = ones(n,n);
4
5  for k = 1 : n
6      P = 1;
7      for i = 1 : n
8          if k ~= i
9              P = conv(P, poly(X(i)) / (X(k) - X(i)));
10         end
11     end
12     l(k) = poly2sym(P);
13 end
14 L = Y * vec(l);
15 end

```

Figure 1: 求 Lagrange 插值多项式的函数

2.2 分段线性插值

如图 2, 可以写出分段线性插值函数, 满足 $I_h|_{[x_k, x_{k+1}]} = f(x_k) \frac{x - x_{k+1}}{x_k - x_{k+1}} + f(x_{k+1}) \frac{x - x_k}{x_{k+1} - x_k}$ 。

```

1  function [I] = pieceLin(X,Y,x)
2  n = length(X);
3  for k = 1:(n-1)
4      if x >= X(k) && x <= X(k+1)
5          I = Y(k)*(x - X(k+1))/(X(k) - X(k+1)) + ...
6              Y(k+1)*(x - X(k))/(X(k+1) - X(k));
7      else
8          continue;
9      end
10 end
11 end

```

Figure 2: 分段线性插值函数

2.3 三次样条插值

如图 3, 可以写出三次样条插值函数, 满足 $S|_{[x_k, x_{k+1}]} = f(x_k)\alpha_k(x) + f(x_{k+1})\alpha_{k+1}(x) + m_k\beta_k(x) + m_{k+1}\beta_{k+1}(x)$. 其中 m_j 由方程 $Am = b$ 解出。

```

1  function [S] = spline3(X,Y,m_1,m_n,x)
2  -   n = length(X); b = zeros(n-2,1);
3  -   for j = 2:n
4  -       h(j) = X(j) - X(j-1);
5  -   end
6  -   for j = 2:n-1
7  -       lambda(j) = h(j+1) / (h(j) + h(j+1)); mu(j) = 1 - lambda(j);
8  -   end
9  -   for j = 2:n-1
10 -       g(j) = 3 * (lambda(j)*(Y(j) - Y(j-1))/(X(j) - X(j-1)) + mu(j)*(Y(j+1) - Y(j))/(X(j+1) - X(j)));
11 -   end
12 -   b(1) = g(2) - lambda(2)*m_1; b(n-2) = g(n-1) - mu(n-1)*m_n; b(2:n-3) = g(3:n-2);
13 -   A = 2 * eye(n-2) + diag(mu(2:n-2),1) + diag(lambda(3:n-1),-1); %生成三对角系数矩阵
14 -   m(2:n-1) = inv(A) * b; m(1) = m_1; m(n) = m_n; %解得m
15 -   for k = 1:n-1
16 -       if x >= X(k) && x <= X(k+1)
17 -           p = (x - X(k+1))^2/(h(k+1))^2; q = (x - X(k))^2/(h(k+1))^2;
18 -           S = Y(k)*(1+2*(x - X(k))/h(k+1))*p + Y(k+1)*(1 - 2*(x-X(k+1))/h(k+1))*q + ...
19 -               m(k)*(x - X(k))*p + m(k+1)*(x-X(k+1))*q;
20 -       else, continue;
21 -       end
22 -   end
23 - end

```

Figure 3: 三次样条插值函数

3 结果与分析

3.1 实验结果

将 X, Y 输入如上定义的两个函数当中并作图。其中 x 为 $[-1, 1]$ 之间均匀分布的 200 个点, X 为 n 个插值点。橙色曲线是在插值点 X 上拟合出的插值函数图像, 蓝色曲线是在更加稠密的 x 上拟合出的插值函数图像。当 $n = 10$ 时, 我们得到如图 4 所示的结果。当 $n = 20$ 时, 我们得到如图 5 所示的结果。当 $n = 30$ 时, 我们得到如图 6 所示的结果。

可见随着插值点个数 n 的增加, 插值逼近效果变好。Lagrange 插值多项式在插值点 X 上, 即橙色曲线的逼近效果看似不错, 但当选取 x 进行拟合时, 可以看到 Lagrange 插值法在靠近区间端点的区域并不能很好地逼近原函数。三种方法中三次样条插值优于分段线性插值, 分段线性插值优于 Lagrange 插值。

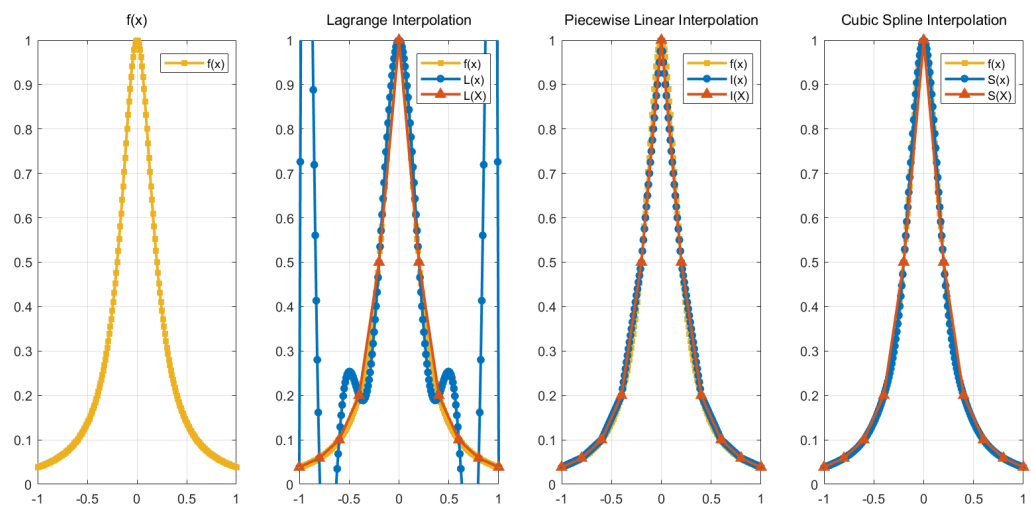


Figure 4: $n = 10$ 时原函数与各个插值函数在 $[-1, 1]$ 上的函数图像。

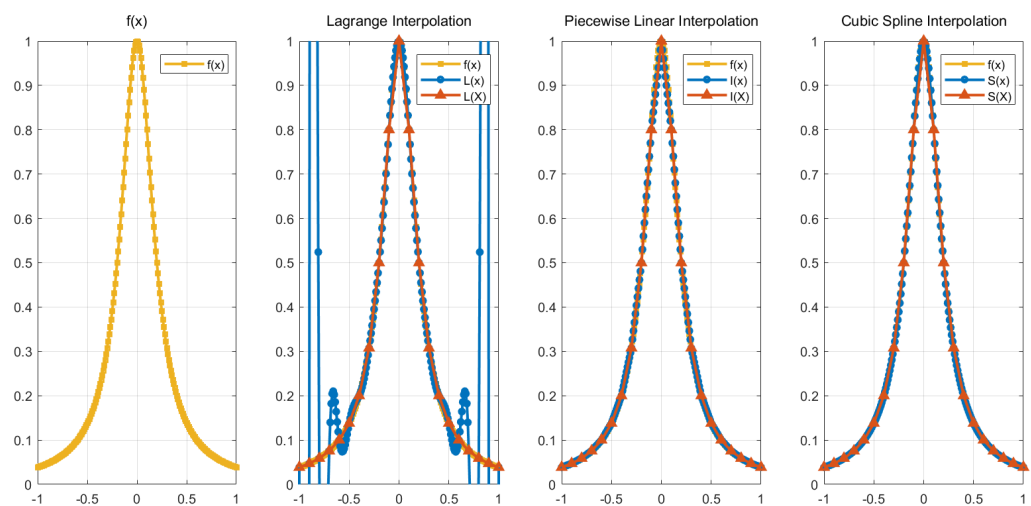


Figure 5: $n = 20$ 时原函数与各个插值函数在 $[-1, 1]$ 上的函数图像。

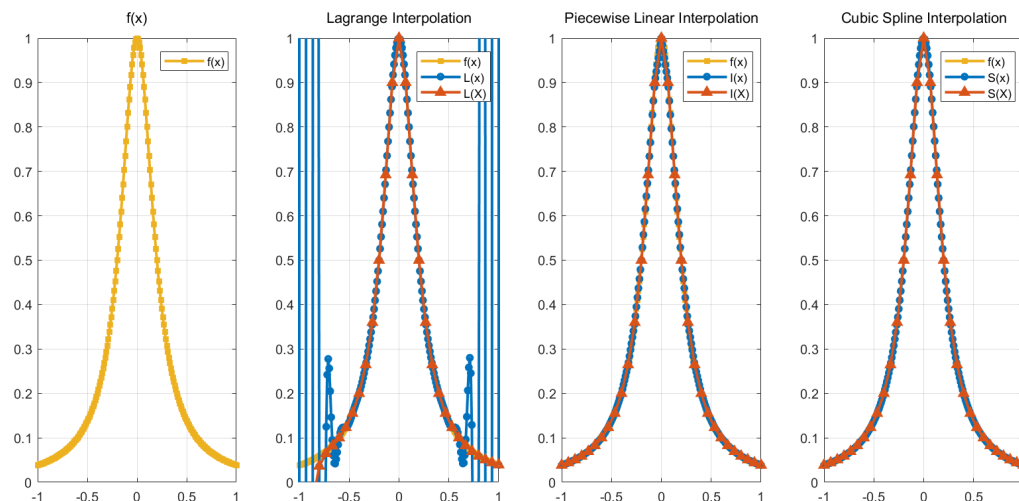


Figure 6: $n = 30$ 时原函数与各个插值函数在 $[-1, 1]$ 上的函数图像。

3.2 收敛性验证

函数 $f(x) = \frac{1}{1+25x^2} \in C^\infty[-1, 1]$, 但 $\|f^{(n)}\|_\infty \rightarrow +\infty$, 即 f 的各阶导数并不是一致有界的, 从而不满足 Lagrange 插值多项式的收敛性条件。我们可以看到 n 增大时 $f(x)$ 在 $[-1, 1]$ 的中间部分收敛得更好, 但在靠近两端点处震荡得更加厉害了。

而分段低次插值可以克服这种高次插值的数值不稳定性。此题 f 连续, 插值点个数 n 增加相当于 $h \rightarrow 0$, 故分段线性插值函数会逐渐收敛到被插值原函数。

但分段线性函数光滑性不够好, 故我们可以采用三次样条函数, 即分段三次插值函数。此题中 $\bar{h} = \underline{h} = \frac{2}{n}$, 故满足条件: 在 $\bar{h} \rightarrow 0$ 时有 $\frac{\bar{h}}{\underline{h}} \leq C < +\infty$. 从而三次样条插值函数会逐渐一致收敛到被插值原函数。